

ЭЛЕКТРОДИНАМИКА, АНТЕНЫ И МИКРОВОЛНОВЫЕ УСТРОЙСТВА, РАСПРОСТРАНЕНИЕ РАДИОВОЛН

УДК 621.396.67

В.В. ДОЛЖИКОВ, д-р физ.-мат. наук

КОРРЕЛЯЦИОННЫЕ ХАРАКТЕРИСТИКИ ПОЛЯ АНТЕННЫ С КРУГЛОЙ СФОКУСИРОВАННОЙ АПЕРТУРОЙ

Введение

К настоящему времени поле ряда излучающих систем (ИС) в их зоне Френеля изучено довольно обстоятельно. Однако имеющаяся в литературе информация не в полной мере удовлетворяет потребности практики. Связано это с тем, что в реальных ИС распределение источников всегда в той или иной мере случайно. Наличие случайностей в распределении источников существенно ухудшает характеристики ИС, ограничивает их потенциальные возможности. При этом, с увеличением электрических размеров ИС и усложнением их конструкции, роль различных факторов, порождающих «случайности» в амплитудно-фазовом распределении и положении источников, значительно возрастает. Это проявляется особенно заметно в крупных, сложных, дорогостоящих антенах. В 80 – 90-х годах Я.С. Шифриным и его сотрудниками был выполнен цикл работ по построению статистической теории ИС (теории антенн со случайными источниками) в зоне Френеля применительно к линейным излучающим системам, результаты которых в обобщенном виде приведены в [1].

Изучение статистики поля ИС в их зоне Френеля на примере линейной излучающей системы (ЛИС) позволило выявить присущие этой зоне основные статистические эффекты и закономерности их изменения. Однако, с практической точки зрения, более важное значение имеют исследования для ИС с двумерными апертурами, в частности для широко распространенного типа антенн – антенны с круглой апертурой. Результаты изучения средних и флюктуационных характеристик приведены в [2, 3].

Цель работы – изучение корреляционных характеристик поля на фокальной сфере сфокусированных в зону Френеля антенн с круглой апертурой, при наличии в их раскрытии фазовых флюктуаций.

1. Исходные соотношения

Рассмотрим плоскую синфазную равномерно возбужденную круглую апертуру S радиуса R , сфокусированную в зону Френеля. Поле данной антенны в приближении Френеля с

точностью до несущественного множителя $(ikE_A\pi e^{-ikr}/8)$, где E_A – амплитуда поля на апертуре, $k = 2\pi/\lambda$, λ – длина волны в свободном пространстве, можно представить в виде [1]:

$$E_0(\zeta, \psi) = \frac{2}{\chi(\zeta)} \int_0^1 e^{i2\zeta u^2} J_0(u\psi) u du, \quad (1)$$

Входящие в (1) безразмерные переменные ψ , u и ζ связаны с реальными координатами системы (см. рис.1) следующими соотношениями:

$$\psi = kR \sin \theta, \quad u = \rho_1 / R,$$

$$\zeta = \pi r_{\text{дз}} (1 - r_f / r) / 16r_f;$$

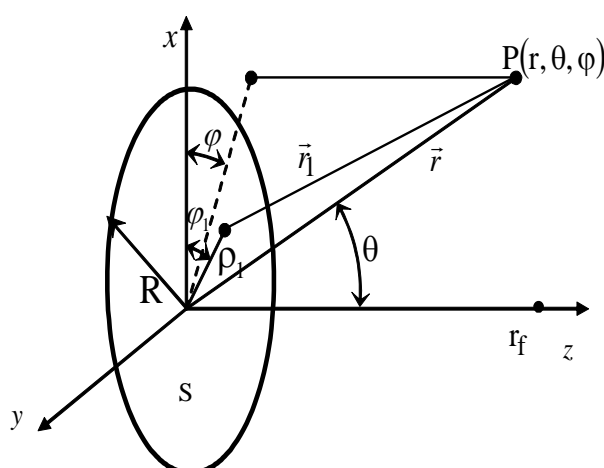


Рис. 1

где $\chi(\zeta) = \pi\chi_0/(1 - 16\chi_0\zeta/\pi) = r/r_{\text{дз}}$, $r_{\text{дз}} = 8R^2/\lambda$ – расстояние до границы дальней зоны, $\chi_0 = r_f/r_{\text{дз}}$, r_f – фокусное расстояние.

Множитель $1/\chi(\zeta)$ в выражении (1) можно далее отбросить, так как в окончательных выражениях для коэффициентов корреляции (нормированных корреляционных функций) он исчезает. Соответственно, далее вместо (1) будем использовать для поля выражение

$$E_0(\zeta, \psi) = 2 \int_0^1 e^{i2\zeta u^2} J_0(u\psi) u du. \quad (2)$$

Если на апертуре имеются фазовые флуктуации $\Phi(u, \varphi_1)$, то вместо (2) имеем для поля отдельной реализации выражение [1]

$$E(\zeta, \psi, \varphi) = \frac{1}{\pi S} \int e^{i\Phi(u, \varphi_1)} e^{i2\zeta u^2} e^{iu\psi \cos(\varphi - \varphi_1)} ds. \quad (3)$$

Будем считать, что функция $\Phi(u, \varphi_1)$ нормальная однородная по раскрыву случайная функция с нулевым средним значением, дисперсией $\overline{\Phi^2(u, \varphi_1)} = \sigma^2(u, \varphi_1) = \alpha = \text{const}$ и коэффициентом корреляции гауссовского вида

$$r = \frac{\overline{\Phi(u, \varphi_1) \cdot \Phi(u', \varphi'_1)}}{\alpha} = e^{-\frac{u^2 + u'^2 - 2uu' \cos(\varphi_1 - \varphi'_1)}{c^2}}, \quad (4)$$

где числитель drobi в показателе экспоненты – квадрат расстояния между точками с координатами u, φ_1 и u', φ'_1 , а знаменатель – квадрат радиуса корреляции c в относительных единицах, связанного с реальным радиусом корреляции фазовых флуктуаций ρ_0 соотношением $c = \rho_0 / R$.

Тогда, усредняя соотношение (3), получим [1]:

$$\overline{E(\zeta, \psi, \varphi)} = e^{-\frac{\alpha}{2}} E_0(\zeta, \psi), \quad (5)$$

Флуктуации поля

$$\begin{aligned} \delta E(\zeta, \psi, \varphi) &= E(\zeta, \psi, \varphi) - \overline{E(\zeta, \psi, \varphi)} = \\ &= \frac{1}{\pi} \int_0^1 \int_0^1 e^{i[2\zeta u^2 + u\psi \cos(\varphi - \varphi_1)]} \left[e^{i\Phi(u, \varphi_1)} - e^{-\frac{\alpha}{2}} \right] d\varphi_1 u du = A(\zeta, \psi, \varphi) + iB(\zeta, \psi, \varphi), \end{aligned} \quad (6)$$

где $A(\zeta, \psi, \varphi) = \text{Re } \delta E(\zeta, \psi, \varphi)$ и $B(\zeta, \psi, \varphi) = \text{Im } \delta E(\zeta, \psi, \varphi)$ характеризуются корреляционной функцией

$$\begin{aligned} K_1(\zeta, \psi, \varphi, \zeta_1, \psi_1, \varphi_1) &= \overline{\delta E(\zeta, \psi, \varphi) \delta E^*(\zeta_1, \psi_1, \varphi_1)} = \\ &= \overline{E(\zeta, \psi, \varphi) E^*(\zeta_1, \psi_1, \varphi_1)} - \overline{E(\zeta, \psi, \varphi)} \overline{E^*(\zeta_1, \psi_1, \varphi_1)}. \end{aligned} \quad (7)$$

Здесь $*$ – знак комплексного сопряжения.

Значение функции $K_1(\zeta, \psi, \varphi, \zeta_1, \psi_1, \varphi_1)$ при $\zeta_1 = \zeta, \psi_1 = \psi, \varphi_1 = \varphi$ определяет дисперсию флуктуаций комплексного поля:

$$K_1(\zeta, \psi, \varphi) = \overline{|\delta E(\zeta, \psi, \varphi)|^2} = \overline{|E(\zeta, \psi, \varphi)|^2} - \overline{|E(\zeta, \psi, \varphi)|^2}^2, \quad (8)$$

где первое слагаемое есть средняя интенсивность поля, а второе – квадрат модуля среднего поля.

Функция $K_1(\zeta, \psi, \varphi, \zeta_1, \psi_1, \varphi_1)$ является исходной при изучении корреляций комплексного поля. При изучении корреляционных характеристик амплитуды и фазы поля наряду с функцией $K_1(\zeta, \psi, \varphi, \zeta_1, \psi_1, \varphi_1)$ нам потребуется также вспомогательная функция $K_2(\zeta, \psi, \varphi, \zeta_1, \psi_1, \varphi_1)$, определяемая соотношением

$$K_2(\zeta, \psi, \varphi, \zeta_1, \psi_1, \varphi_1) = \frac{\overline{\delta E(\zeta, \psi, \varphi) \delta E(\zeta_1, \psi_1, \varphi_1)}}{\overline{E(\zeta, \psi, \varphi) E(\zeta_1, \psi_1, \varphi_1)} - \overline{E(\zeta, \psi, \varphi)} \overline{E(\zeta_1, \psi_1, \varphi_1)}}. \quad (9)$$

Величины $\overline{E(\zeta, \psi, \varphi) E^*(\zeta_1, \psi_1, \varphi_1)}$ и $\overline{E(\zeta, \psi, \varphi) E(\zeta_1, \psi_1, \varphi_1)}$, входящие в (7) и (9), при принятой в данной работе статистике фазовых флуктуаций описываются выражениями:

$$\overline{E(\zeta, \psi, \varphi) E^*(\zeta_1, \psi_1, \varphi_1)} = e^{-\alpha} \left\{ E_0(\zeta, \psi) E_0^*(\zeta_1, \psi_1) + \sum_{n=1}^{\infty} \frac{\alpha^n}{n!} T_n^{(1)}(c_n, \zeta, \psi, \zeta_1, \psi_1, \Delta\varphi) \right\}, \quad (10)$$

$$\overline{E(\zeta, \psi, \varphi) E(\zeta_1, \psi_1, \varphi_1)} = e^{-\alpha} \left\{ E_0(\zeta, \psi) E_0(\zeta_1, \psi_1) + \sum_{n=1}^{\infty} \frac{(-1)^n \alpha^n}{n!} T_n^{(2)}(c_n, \zeta, \psi, \zeta_1, \psi_1, \Delta\varphi) \right\}. \quad (11)$$

Здесь $c_n = c/\sqrt{n}$, $\Delta\varphi = \varphi - \varphi_1$ и согласно формуле (П1.7)

$$T_n^{(1), (2)}(c_n, \zeta, \psi, \zeta_1, \psi_1, \Delta\varphi) = 4 \sum_{m=0}^{\infty} (2 - \delta_{0m}) (\pm 1)^m \cos(m\Delta\varphi) S_m^{(1), (2)}(c_n, \zeta, \psi, \zeta_1, \psi_1), \quad (12)$$

где

$$S_m^{(1), (2)}(c_n, \zeta, \psi, \zeta_1, \psi_1) = \int_0^1 \int_0^1 e^{-\frac{u^2 + u_1^2}{c_n^2}} e^{i2(\zeta u^2 \mp \zeta_1 u_1^2)} I_m\left(\frac{2uu_1}{c_n^2}\right) J_m(\psi u) J_m(\psi_1 u_1) uu_1 du du_1.$$

Подставляя (10), (11) в (7), (9) и учитывая (5), получаем:

$$K_{1,2}(\zeta, \psi, \zeta_1, \psi_1, \Delta\varphi) = e^{-\alpha} \sum_{n=1}^{\infty} \frac{(\pm 1)^n \alpha^n}{n!} T_n^{(1), (2)}(c_n, \zeta, \psi, \zeta_1, \psi_1, \Delta\varphi). \quad (13)$$

Так как, согласно (7), (9) и (6)

$$K_1 = (A + iB) \cdot (A_1 + iB_1)^* = (K_{AA_1} + K_{BB_1}) + i(K_{BA_1} - K_{AB_1}),$$

и

$$K_2 = \overline{(A + iB) \cdot (A_1 + iB_1)} = (K_{AA_1} + K_{BB_1}) + i(K_{BA_1} + K_{AB_1}),$$

корреляционные функции реальной и мнимой частей флуктуаций поля $K_{AA_1}(\zeta, \psi, \varphi, \zeta_1, \psi_1, \varphi_1)$, $K_{BB_1}(\zeta, \psi, \varphi, \zeta_1, \psi_1, \varphi_1)$ и взаимные корреляционные функции $K_{AB_1}(\zeta, \psi, \varphi, \zeta_1, \psi_1, \varphi_1)$, $K_{BA_1}(\zeta, \psi, \varphi, \zeta_1, \psi_1, \varphi_1)$ выражаются через введенные функции $K_1(\zeta, \psi, \varphi, \zeta_1, \psi_1, \varphi_1)$ и $K_2(\zeta, \psi, \varphi, \zeta_1, \psi_1, \varphi_1)$ следующим образом:

$$K_{AA_1, BB_1} = \frac{\operatorname{Re} K_1 \pm \operatorname{Re} K_2}{2}, \quad K_{BA_1, AB_1} = \frac{\operatorname{Im} K_2 \pm \operatorname{Im} K_1}{2}. \quad (14)$$

Полученные соотношения справедливы при произвольных значениях дисперсии α и радиуса корреляции c фазовых флуктуаций на апертуре.

2. Корреляция флуктуаций комплексного поля

В общем случае корреляция флуктуаций комплексного поля описывается соотношением (8) для функции $K_1(\zeta, \psi, \varphi, \zeta_1, \psi_1, \varphi_1)$.

Коэффициент корреляции флуктуаций комплексного поля (ККФП)

$$R(\zeta, \psi, \zeta_1, \psi_1, \Delta\varphi) = \frac{K_1(\zeta, \psi, \zeta_1, \psi_1, \Delta\varphi)}{\sigma(\zeta, \psi)\sigma(\zeta_1, \psi_1)}, \quad (15)$$

где $\sigma(\zeta, \psi) = \sqrt{K_1(\zeta, \psi, \zeta, \psi, \Delta\varphi = 0)}$.

Ограничимся далее рассмотрением случая, когда точки наблюдения принадлежат фокальной сфере.

2.1. Корреляция флуктуаций комплексного поля

Для точек на фокальной сфере ($\zeta = \zeta_1 = 0$) поперечные¹ корреляционные функции будем записывать с верхним индексом “ \perp ” – например, $K_1^\perp(\psi, \psi_1, \Delta\varphi)$, $R^\perp(\psi, \psi_1, \Delta\varphi)$.

Полагая $\zeta = \zeta_1 = 0$, на основании (13) имеем

$$K_1^\perp(\psi, \psi_1, \Delta\varphi) = e^{-\alpha} \sum_{n=1}^{\infty} \frac{\alpha^n}{n!} T_n^{(1)}(c_n, \psi, \psi_1, \Delta\varphi), \quad (16)$$

где $T_n^{(1)}(c_n, \psi, \psi_1, \Delta\varphi)$ определяется выражением (П1.8).

Соответственно

$$R^\perp(\psi, \psi_1, \Delta\varphi) = \sum_{n=1}^{\infty} \frac{\alpha^n}{n!} T_n^{(1)}(c_n, \psi, \psi_1, \Delta\varphi) \sqrt{\sum_{n=1}^{\infty} \frac{\alpha^n}{n!} T_n^{(1)}(c_n, \psi, \psi, 0) \cdot \sum_{n=1}^{\infty} \frac{\alpha^n}{n!} T_n^{(1)}(c_n, \psi_1, \psi_1, 0)}, \quad (17)$$

Как видно из (17) поперечный ККФП зависит от ψ и ψ_1 для двух точек на фокальной сфере и разности их азимутальных углов $\Delta\varphi$. Изучение корреляционных свойств флуктуаций поля на фокальной сфере, при разных значениях ψ , ψ_1 и $\Delta\varphi$, является достаточно громоздким и к тому же с плохо интерпретируемыми результатами. Более интересным представляется изучение корреляции флуктуаций поля по ψ и $\Delta\varphi$ порознь, с соответственно фиксированными $\Delta\varphi$ и ψ . Соответствующие коэффициенты корреляции будем обозначать R_ψ^\perp и $R_{\Delta\varphi}^\perp$.

2.1.1. Анализ R_ψ^\perp при $\Delta\varphi = 0$.

При $\Delta\varphi = 0$ точки наблюдения лежат в полуплоскости $\varphi = \text{const}$.

Флуктуации фазы на апертуре малы ($\alpha \ll 1$). В этом случае, при выяснении характера изменения коэффициента корреляции по мере изменения параметра c , в (17) достаточно ограничиться членами первого порядка малости по α . Тогда

$$R_\psi^\perp(\psi, \psi_1, 0) = T_1^{(1)}(c, \psi, \psi_1, 0) \sqrt{\left[T_1^{(1)}(c, \psi, \psi, 0) T_1^{(1)}(c, \psi_1, \psi_1, 0) \right]^2}. \quad (18)$$

¹ Здесь и далее вместо терминов «корреляционные функции и коэффициент корреляции в поперечном направлении» будем использовать термины «поперечные корреляционные функции и поперечный коэффициент корреляции».

При $c \ll 1$, учитывая, что функция $T_1^{(1)}(c, \psi, \psi_1, 0)$ определяется выражением (П1.14) $T_1^{(1)}(c, \psi, \psi_1, 0) = 2c^2 J_1(\psi - \psi_1)/(\psi - \psi_1)$, получаем

$$R_\psi^\perp(\psi, \psi_1, 0) = 2 J_1(\psi - \psi_1)/(\psi - \psi_1). \quad (19)$$

Из (19) следует, что при малых c поперечный ККФП, с точностью до величин порядка c^2 , не зависит от радиуса корреляции фазовых флуктуаций на апертуре.

При $c >> 1$ в (18) необходимо подставить $T_1^{(1)}(c, \psi, \psi_1, 0)$, определяемое формулой (П1.19):

$$T_1^{(1)}(c, \psi, \psi_1, 0) = 4 \frac{J_1(\psi) J_1(\psi_1)}{\psi \psi_1} \left\{ 1 - \frac{1}{c^2} \left[1 - \frac{1}{2} \frac{J_3(\psi)}{J_1(\psi)} - \frac{1}{2} \frac{J_3(\psi_1)}{J_1(\psi_1)} - \frac{2 J_2(\psi) J_2(\psi_1)}{J_1(\psi) J_1(\psi_1)} \right] \right\}.$$

Соответственно

$$R_\psi^\perp(\psi, \psi_1, 0) = \frac{1 - \frac{1}{c^2} \left[1 - \frac{1}{2} \frac{J_3(\psi)}{J_1(\psi)} - \frac{1}{2} \frac{J_3(\psi_1)}{J_1(\psi_1)} - \frac{2 J_2(\psi) J_2(\psi_1)}{J_1(\psi) J_1(\psi_1)} \right]}{\left\{ 1 - \frac{2}{c^2} \left[1 - \frac{1}{2} \frac{J_3(\psi)}{J_1(\psi)} - \frac{1}{2} \frac{J_3(\psi_1)}{J_1(\psi_1)} - \frac{J_2^2(\psi)}{J_1^2(\psi)} - \frac{J_2^2(\psi_1)}{J_1^2(\psi_1)} \right] \right\}^{\frac{1}{2}}} \operatorname{sign}[J_1(\psi) J_1(\psi_1)]. \quad (20)$$

Результаты расчета величины $R_\psi^\perp(\psi, \psi_1, 0)$ по (18) для ряда значений параметра c приведены на рис. 2, *a*. На рис. 2, *б* приведены аналогичные кривые для ЛИС, построенные по соотношениям из [3].

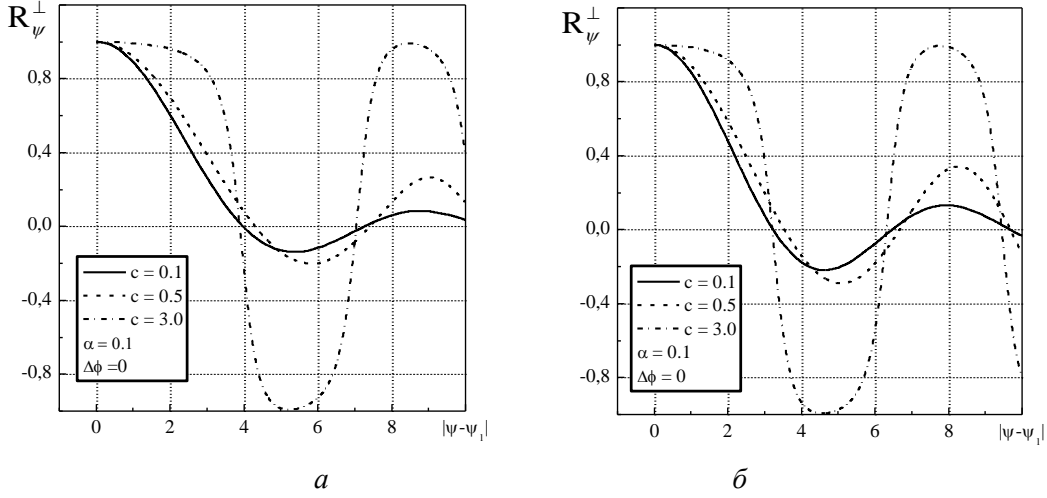


Рис. 2

При $c \ll 1$ (сплошная кривая) угловой интервал корреляции комплексного поля равен примерно 3.3. Так как при малых c поле распределено по нормальному закону, то это означает, что поля в точках, разнесенных по ψ более чем на 3.3 независимы. Видно далее, что уже при значениях c порядка трех, ситуация близка к случаю детерминированной антенны.

При любом значении $|\psi - \psi_1|$ коэффициент корреляции по модулю близок к единице, меняя знак при изменении $|\psi - \psi_1|$ на величину порядка 3.3². Картина, показанная на

² Как известно, картина поля на фокальной сфере сфокусированной антенны подобна картине поля в дальней зоне обычной (несфокусированной) антенны. Ширина главного лепестка ДН антенны с круглой апертурой в единицах ψ составляет ≈ 3.3 . Соответственно результаты рис. 2, *a* означают, что при малых c поля в сосед-

рис. 2, *a* качественно присуща (см. рис. 2, *b*) и линейной излучающей системе. При этом случаю $c \ll 1$ (сплошная кривая) соответствует функция $\sin \psi / \psi$, где $\psi = (kL/2)\sin \theta$ и L – длина ЛИС, а θ – угол, отсчитываемый от нормали к оси антенны.

Флуктуации фазы на апертуре велики ($\alpha \gg 1$). В этом случае, согласно (П2.5)

$$K_1^\perp(\psi, \psi_1, 0) = T_1^{(1)}(c_\alpha, \psi, \psi_1, 0), \quad (21)$$

где $c_\alpha = c/\sqrt{\alpha}$.

Учитывая (21), из выражения (15) приходим к соотношению типа (18) с заменой в нем величины c на c_α . Соответственно при $c \ll 1$ и при $c \gg 1$ имеем соотношения (19) и (20) с той же заменой c на c_α .

Радиус корреляции мал. При $c \ll 1$, подставляя выражение (П1.14) для $T_n^{(1)}(c_n, \psi, \psi_1, 0)$ в (17), для коэффициента корреляции $R_\psi^\perp(\psi, \psi_1, 0)$ получим:

$$R_\psi^\perp(\psi, \psi_1, 0) = 2J_1(\psi - \psi_1)/(\psi - \psi_1).$$

Таким образом, при малых c поперечный ККФП описывается выражением, совпадающим с (19) и сплошной кривой на рис. 2, *a*, и не зависит от величины дисперсии фазовых флуктуаций на апертуре.

2.1.2. Анализ R_ψ^\perp в симметричных точках ($\Delta\varphi = \pi$).

Симметричные точки на фокальной сфере определяются условиями $\psi = \psi_1$ и $\Delta\varphi = \pi$

При этих условиях согласно (15)

$$R_\psi^\perp(\psi, \psi, \pi) = \sum_{n=1}^{\infty} \frac{\alpha^n}{n!} T_n^{(1)}(c, \psi, \psi, \pi) / \sum_{n=1}^{\infty} \frac{\alpha^n}{n!} T_n^{(1)}(c, \psi, \psi, 0). \quad (22)$$

Соотношение (22) определяет ККФП при любых значениях дисперсии α и радиусов корреляции c флуктуаций фазы на апертуре.

Флуктуации фазы на апертуре малы ($\alpha \ll 1$). С точностью до членов первого порядка малости по α из (22) имеем

$$R_\psi^\perp(\psi, \psi, \pi) = T_1^{(1)}(c, \psi, \psi, \pi) / T_1^{(1)}(c, \psi, \psi, 0). \quad (23)$$

Используя далее (П1.14) и (П1.19), из (23) получим:

при $c \ll 1$

$$R_\psi^\perp(\psi, \psi, \pi) = J_1(2\psi)/\psi, \quad (24)$$

при $c \gg 1$

$$R_\psi^\perp(\psi, \psi, \pi) = \left\{ 1 - \frac{1}{c^2} \left[1 - \frac{J_3(\psi)}{J_1(\psi)} + 2 \frac{J_2^2(\psi)}{J_1^2(\psi)} \right] \right\} / \left\{ 1 - \frac{1}{c^2} \left[1 - \frac{J_3(\psi)}{J_1(\psi)} - 2 \frac{J_2^2(\psi)}{J_1^2(\psi)} \right] \right\}. \quad (25)$$

Соотношение (24) совпадает с (19), если учесть, что для симметрично расположенных точек величина 2ψ играет роль величины $|\psi - \psi_1|$ для случая, когда точки наблюдения расположены по одну сторону от фокальной оси ($\Delta\varphi = 0$).

них лепестках ДН антенны с круглой апертурой независимы, а уже при c порядка трех при любом разносе точек наблюдения ККФП по модулю близок к единице, меняя знак при переходе от одного лепестка ДН к другому.

На рис. 3, *a* приведены построенные по формуле (23) зависимости ККФП от величины 2ψ при малых флуктуациях фазы на апертуре. Аналогичные кривые для ЛИС в дальней зоне, построенные по соотношениям из [3], приведены на рис. 3, *б*.

Из сравнения рис. 2, *а* и 3, *а* следует, что при малых радиусах корреляции, вплоть до $c=0.5$, корреляционный интервал практически не зависит от того, расположены ли точки наблюдения с одной стороны от фокальной оси ($\Delta\varphi=0$) или симметрично ($\Delta\varphi=\pi$) относительно её (см. также (19) и (24)). Аналогичное имеет место и для ЛИС (рис. 2, *б* и 3, *б*).

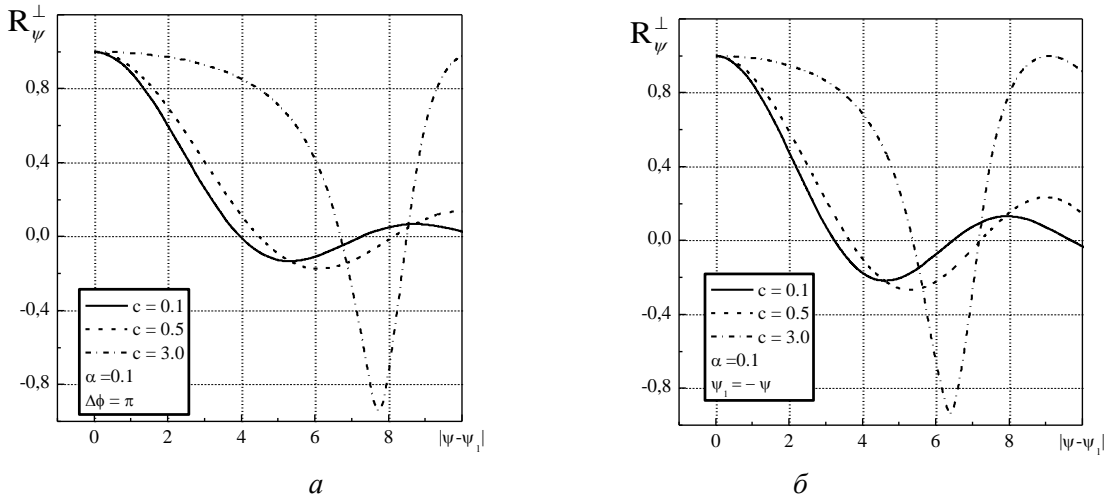


Рис. 3

Флуктуации фазы на апертуре велики ($\alpha \gg 1$). Согласно (П2.5) при $\zeta = \zeta_1$ и $\Delta\varphi = \pi$ $K_1^\perp(\psi, \psi_1, \pi) = T_1^{(1)}(c_\alpha, \psi, \psi_1, \pi)$ и ККФП при произвольных радиусах корреляции описывается выражением (23), а при $c_\alpha \ll 1$ и $c_\alpha \gg 1$ соотношениями (24) и (25) соответственно с заменой c на c_α .

Радиус корреляции мал. При малых радиусах корреляции ($c \ll 1$) и произвольных значениях дисперсии α из (23) и (П1.14) для ККФП получаем выражение

$$R_\psi^\perp(\psi, \psi, \pi) = J_1(2\psi)/\psi,$$

совпадающее с (24), из которого следует, что коэффициент корреляции при малых c не зависит от α .

2.1.3. Анализ $R_{\Delta\varphi}^\perp$ (корреляция поля по азимуту при $\psi = \psi_1$).

При $\psi = \psi_1$ на основании (17) имеем:

$$R_{\Delta\varphi}^\perp(\psi, \psi, \Delta\varphi) = \sum_{n=1}^{\infty} \frac{\alpha^n}{n!} T_n^{(1)}(c, \psi, \psi, \Delta\varphi) / \sum_{n=1}^{\infty} \frac{\alpha^n}{n!} T_n^{(1)}(c, \psi, \psi, 0), \quad (26)$$

где $T_n^{(1)}(c, \psi, \psi, \Delta\varphi)$ определяется формулой (П1.8).

Флуктуации фазы на апертуре малы ($\alpha \ll 1$). В этом случае в (26) достаточно ограничиться слагаемыми с $n = 1$. Соответственно имеем

$$R_{\Delta\varphi}^\perp(\psi, \psi, \Delta\varphi) = T_1^{(1)}(c, \psi, \psi, \Delta\varphi) / T_1^{(1)}(c, \psi, \psi, 0). \quad (27)$$

Учитывая (П1.14) и (П1.19), для малых и больших значений радиусов корреляции фазовых ошибок на апертуре получаем следующие выражения:

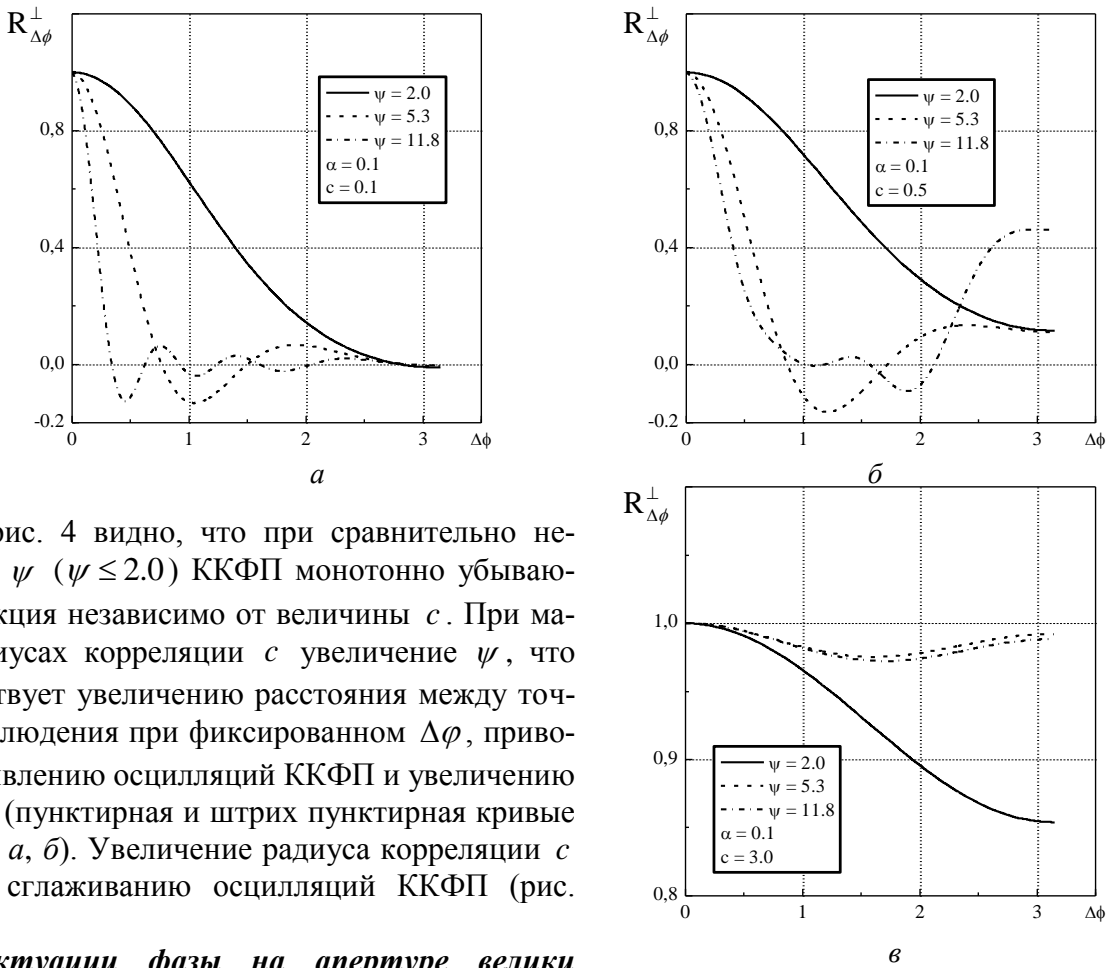
для $c \ll 1$

$$R_{\Delta\phi}^{\perp}(\psi, \psi, \Delta\phi) = \sum_{m=0}^{\infty} (2 - \delta_{0m}) \cos(m\Delta\phi) \left[J_m^2(\psi) - J_{m-1}(\psi)J_{m+1}(\psi) \right], \quad (28)$$

для $c \gg 1$

$$R_{\Delta\phi}^{\perp}(\psi, \psi, \Delta\phi) = \frac{\left[1 - \frac{1}{c^2} \left(1 - \frac{J_3(\psi)}{J_1(\psi)} \right) \right] + \frac{2}{c^2} \frac{J_2^2(\psi)}{J_1^2(\psi)} \cos(\Delta\phi)}{\left[1 - \frac{1}{c^2} \left(1 - \frac{J_3(\psi)}{J_1(\psi)} \right) \right] + \frac{2}{c^2} \frac{J_2^2(\psi)}{J_1^2(\psi)}}. \quad (29)$$

На рис. 4 приведены кривые $R_{\Delta\phi}^{\perp}$ при $c = 0.1, 0.5, 3.0$ для ряда значений ψ (значение $\psi = 2.0$ примерно соответствует координате $0.5|E_0|_{\max}^2$ углового распределения (по ψ) распределения интенсивности невозмущенного поля на фокальной сфере, а значения $\psi = 5.3$ и 11.8 – максимумам первого и третьего боковых лепестков этого распределения).



Из рис. 4 видно, что при сравнительно небольших ψ ($\psi \leq 2.0$) ККФП монотонно убывающая функция независимо от величины c . При малых радиусах корреляции c увеличение ψ , что соответствует увеличению расстояния между точками наблюдения при фиксированном $\Delta\phi$, приводит к появлению осцилляций ККФП и увеличению их числа (пунктирная и штрих пунктирная кривые на рис 4, *a*, *b*). Увеличение радиуса корреляции c ведет к сглаживанию осцилляций ККФП (рис. 4, *c*).

Флуктуации фазы на апертуре велики ($\alpha \gg 1$).

Согласно (П2.5)

$$K_1^{\perp}(\psi, \psi, \Delta\phi) = T_1^{(1)}(c_{\alpha}, \psi, \psi, \Delta\phi)$$

и коэффициент корреляции при $c \ll 1$ и $c \gg 1$ описывается соотношениями (28) и (29) и кривыми, приведенными на рис. 4 с заменой c на c_{α} .

Радиус корреляции мал ($c \ll 1$). В этом случае ККФП определяется выражением (28) и не зависит от уровня фазовых флуктуаций на апертуре, зависимость его от $\Delta\varphi$ показана на рис. 4, а

3. Корреляция амплитуд и фаз поля

При изучении этого вопроса ограничимся случаем малых фазовых флуктуаций в апертуре ($\alpha \ll 1$). При этом флуктуации амплитуды δP и фазы $\delta\Psi$ комплексного поля сфокусированной в зону Френеля круглой апертуры в предположении, что $|E_0(\zeta, \psi)| \gg \delta P(\zeta, \psi)$ описываются следующими выражениями [2]:

$$\delta P(\zeta, \psi, \varphi) = \cos \Psi_0 \operatorname{Re}(\delta E) + \sin \Psi_0 \operatorname{Im}(\delta E), \quad (30)$$

$$\delta\Psi(\zeta, \psi, \varphi) = \frac{1}{|E_0(\psi, \zeta)|} [\cos \Psi_0 \operatorname{Im}(\delta E) - \sin \Psi_0 \operatorname{Re}(\delta E)], \quad (31)$$

где величины с нижним нулевым индексом относятся к случаю, когда флуктуации фазы на апертуре отсутствуют.

Введем величины $C_0(\zeta, \psi) = \operatorname{Re} E_0(\zeta, \psi)$, $D_0(\zeta, \psi) = \operatorname{Im} E_0(\zeta, \psi)$ и учтем, что $\cos \Psi_0 = C_0(\zeta, \psi)/|E_0(\zeta, \psi)|$, $\sin \Psi_0 = D_0(\zeta, \psi)/|E_0(\zeta, \psi)|$. Тогда, учитывая (7), получим

$$\begin{aligned} \delta P(\zeta, \psi, \varphi) &= \frac{1}{|E_0(\zeta, \psi)|} [C_0(\zeta, \psi)A(\zeta, \psi, \varphi) + D_0(\zeta, \psi)B(\zeta, \psi, \varphi)], \\ \delta\Psi(\zeta, \psi, \varphi) &= \frac{1}{|E_0(\zeta, \psi)|^2} [C_0(\zeta, \psi)B(\zeta, \psi, \varphi) - D_0(\zeta, \psi)A(\zeta, \psi, \varphi)]. \end{aligned}$$

Корреляционные функции флуктуаций амплитуды K_{PP_1} , фазы $K_{\Psi\Psi_1}$ и их взаимные корреляционные функции $K_{P\Psi_1}$, $K_{\Psi P_1}$ запишутся следующим образом:

$$\left. \begin{aligned} K_{PP_1}(\zeta, \psi, \zeta_1, \psi_1, \Delta\varphi) \\ |E_0(\zeta, \psi)| |E_0(\zeta_1, \psi_1)| K_{\Psi\Psi_1}(\zeta, \psi, \zeta_1, \psi_1, \Delta\varphi) \end{aligned} \right\} = \frac{1}{|E_0(\zeta, \psi)| |E_0(\zeta_1, \psi_1)|} \times, \quad (32)$$

$$\begin{aligned} \times \left[C_0 C_{01} K_{AA_1, BB_1} + D_0 D_{01} K_{BB_1, AA} \pm C_0 D_{01} K_{AB_1, BA_1} \pm D_0 C_{01} K_{BA_1, AB_1} \right] \\ K_{P\Psi_1, \Psi P_1}(\zeta, \psi, \zeta_1, \psi_1, \Delta\varphi) = \frac{1}{|E_0(\zeta, \psi)| |E_0(\zeta_1, \psi_1)|^2} \times \end{aligned}, \quad (33)$$

$$\times \left[C_0 C_{01} K_{AB_1, BA_1} - D_0 D_{01} K_{BA_1, AB_1} \mp C_0 D_{01} K_{AA_1, BB_1} \pm D_0 C_{10} K_{BB_1, AA_1} \right]$$

где K_{AA_1, BB_1} и K_{AB_1, BA_1} определены соотношением (14).

Коэффициент корреляции флуктуаций амплитуды (ККФА) R_{PP_1} и фазы (ККФФ) $R_{\Psi\Psi_1}$, а также коэффициенты взаимной корреляции $R_{P\Psi_1}$, $R_{\Psi P_1}$ определяются выражениями:

$$R_{PP_1, \Psi\Psi_1}(\zeta, \psi; \zeta_1, \psi_1, \Delta\varphi) = \frac{K_{PP_1, \Psi\Psi_1}(\zeta, \psi; \zeta_1, \psi_1, \Delta\varphi)}{\sigma_{P, \Psi}(\zeta, \psi) \sigma_{P_1, \Psi_1}(\zeta_1, \psi_1)}, \quad (34)$$

$$R_{P\Psi_1, \Psi P_1}(\zeta, \psi; \zeta_1, \psi_1, \Delta\varphi) = \frac{K_{P\Psi_1, \Psi P_1}(\zeta, \psi; \zeta_1, \psi_1, \Delta\varphi)}{\sigma_{P, \Psi}(\zeta, \psi) \sigma_{\Psi_1, P_1}(\zeta_1, \psi_1)}. \quad (35)$$

Рассмотрим далее случай, когда точки наблюдения находятся на фокальной сфере.

3.1. Корреляция амплитуд и фаз поля на фокальной сфере

На фокальной сфере ($\zeta = \zeta_1 = 0$).

Согласно (2) $E_0(0, \psi) = 2J_1(\psi)/\psi$, $C_0(0, \psi) = 2J_1(\psi)/\psi$, $D_0(0, \psi) = 0$ и, соответственно, $\Psi_0(\psi)$ равно 0 или π .

Из (14), учитывая, что на основании (13) и (П1.8) для точек на фокальной сфере при малых флуктуациях $K_{1,2}^\perp(\psi, \psi_1, \Delta\varphi) = \pm\alpha T_1^{(1),(2)}(c, \psi, \psi_1, \Delta\varphi)$ вещественные функции, получим:

$$K_{AA_1, BB_1}^\perp(\psi, \psi_1, \Delta\varphi) = \frac{1}{2} [K_1^\perp(\psi, \psi_1, \Delta\varphi) \pm K_2^\perp(\psi, \psi_1, \Delta\varphi)], \quad (36)$$

$$K_{AB_1, BA_1}^\perp(\psi, \psi_1, \Delta\varphi) = 0.$$

Для корреляционных и взаимных корреляционных функций амплитуды и фазы из (32), (33) и (14) имеем

$$\left| \frac{8J_1(\psi)J_1(\psi_1)}{\psi\psi_1} \right| K_{\Psi\Psi_1}^\perp(\psi, \psi_1, \Delta\varphi) = \alpha \begin{cases} T_1^{(1)}(c, \psi, \psi_1, \Delta\varphi)^\mp \\ \mp T_1^{(2)}(c, \psi, \psi_1, \Delta\varphi) \end{cases} \text{sign}[J_1(\psi)J_1(\psi_1)], \quad (37)$$

$$K_{P\Psi_1}^\perp(\psi, \psi_1, \Delta\varphi) = K_{\Psi P_1}^\perp(\psi, \psi_1, \Delta\varphi) = 0. \quad (38)$$

Из (38) следует, что на фокальной сфере флуктуации амплитуд и фаз не коррелированы. Аналогичное имеет место и для ЛИС [3] в дальней зоне.

3.1.1. Анализ $R_{PP, \psi}^\perp$ и $R_{\Psi\Psi, \psi}^\perp$ при $\Delta\varphi = 0$.

Для точек наблюдения, лежащих в плоскости $\varphi = const$, с учетом того, что $\Delta\varphi = 0$, для произвольных c $T_1^{(1),(2)}(c, \psi, \psi_1, 0)$ определено выражением (П1.8).

Выясним характер изменения коэффициентов корреляций по мере изменения параметра c . При $c \ll 1$, учитывая (П1.14) для $T_1^{(1),(2)}(c, \psi, \psi_1, 0)$, из (37):

$$R_{PP_1, \Psi\Psi_1}^\perp(\psi, \psi_1, 0) = 2 \frac{J_1(\psi - \psi_1) \mp J_1(\psi + \psi_1)}{\sqrt{1 \mp J_1(2\psi)/\psi} \sqrt{1 \mp J_1(2\psi_1)/\psi_1}} \text{sign}[J_1(\psi)J_1(\psi_1)], \quad (39)$$

при $c \gg 1$ функция $T_1^{(1),(2)}(c, \psi, \psi_1, 0)$ описывается формулой (П1.19) при $n = 1$ и, соответственно, для ККФА и ККФФ получаем:

$$R_{PP_1, \Psi\Psi_1}^\perp(\psi, \psi_1, 0) = 1 - O(1/c^4). \quad (40)$$

Последнее означает, что при $c \gg 1$, с точностью до величин третьего порядка малости по $(1/c)$ включительно флуктуации амплитуд и фаз поля на фокальной сфере коррелированы.

На рис. 5 приведены графики поперечных коэффициентов корреляции флуктуаций амплитуды и фазы поля на фокальной сфере при различных значениях радиуса корреляции

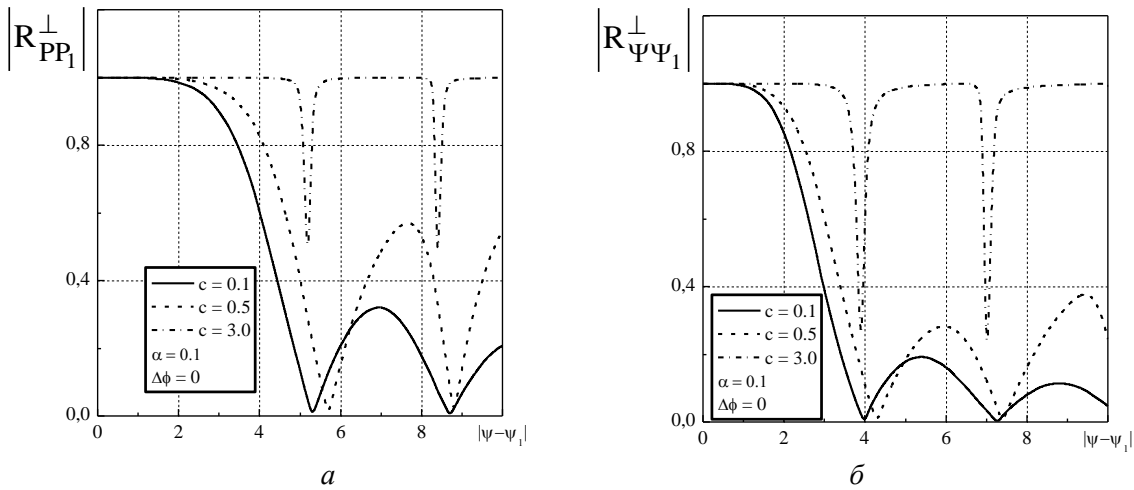


Рис. 5

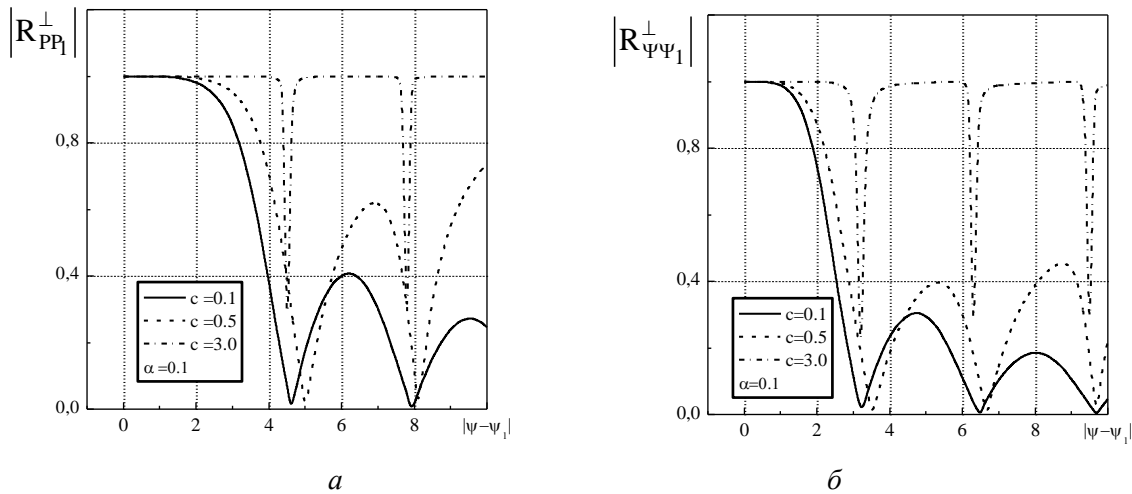


Рис. 6

флуктуаций фазы на апертуре, а на рис. 6 – аналогичные графики для ЛИС, построенные по соотношениям из [3].

Видно, что интервал корреляции растет с увеличением радиуса корреляции флуктуаций фазы на апертуре. При этом интервал корреляции флуктуаций амплитуды $\Delta\psi_P^\perp$ больше, чем интервал корреляции флуктуаций фазы $\Delta\psi_\Psi^\perp$. Расчеты показали, что отношение $\Delta\psi_P^\perp/\Delta\psi_\Psi^\perp \approx 1.5$. Такое же значение $\Delta\psi_P^\perp/\Delta\psi_\Psi^\perp$ имеет место и для ЛИС.

3.1.2. Анализ $R_{PP,\psi}^\perp$ и $R_{\Psi\Psi,\psi}^\perp$ в симметричных точках ($\Delta\phi = \pi$).

В симметричных точках $\Delta\phi = \pi$, $\psi = \psi_1$ и согласно (12)

$$T_1^{(1),(2)}(c, \psi, \psi, \pi) = T_1^{(2),(1)}(c, \psi, \psi, 0)$$

при любых значениях радиуса корреляции флуктуаций фазы на апертуре c .

Соответственно для поперечных ККФА и ККФФ из (34) с учетом (37) имеем:

$$R_{PP_1}^\perp(\psi, \psi, \pi) = -1, \quad R_{\Psi\Psi_1}^\perp(\psi, \psi, \pi) = 1. \quad (41)$$

На фокальной сфере в симметричных точках (равно как и в точках дальней зоны, симметричных относительно направления главного максимума ДН) флуктуации амплитуды и

фазы жестко коррелированы при любых ψ и c . Однако при этом ККФА и ККФФ имеют противоположные знаки. Аналогичное имеет место и для ЛИС [3].

3.1.3. Анализ $R_{PP,\Delta\phi}^\perp$ и $R_{\Psi\Psi,\Delta\phi}^\perp$ (корреляции поля по азимуту, $\psi = \psi_1$)

Из соотношений (37) при $\psi_1 = \psi$ имеем

$$\left. \begin{aligned} K_{PP,\Delta\phi}^\perp(\psi, \psi, \Delta\phi) \\ \left[8J_1^2(\psi)/\psi^2 \right] K_{\Psi\Psi,\Delta\phi}^\perp(\psi, \psi, \Delta\phi) \end{aligned} \right\} = \alpha \left[T_1^{(1)}(c, \psi, \psi, \Delta\phi) \mp T_1^{(2)}(c, \psi, \psi, \Delta\phi) \right], \quad (42)$$

где $T_1^{(1),(2)}(c, \psi, \psi, \Delta\phi)$ определяются выражением (П1.8).

Так как, согласно (П1.9) $T_1^{(1)}(c, \psi, \psi, \Delta\phi = \pi/2) = T_1^{(2)}(c, \psi, \psi, \Delta\phi = \pi/2)$, то из (42) следует, что при малых флюктуациях фазы поля на апертуре и любых значениях их радиусов корреляции c , флюктуации амплитуды в любых двух точках, разность азимутальных углов которых равна $\pi/2$, не коррелированы. При этом ККФФ определяется соотношением

$$\left[8J_1^2(\psi)/\psi^2 \right] K_{\Psi\Psi,\Delta\phi}^\perp(\psi, \psi, \pi/2) = T_1^{(1)}(c, \psi, \psi, \Delta\phi) / T_1^{(1)}(c, \psi, \psi, 0).$$

Применимально к дальней зоне синфазной круглой апертуры это означает, что в любых двух ортогональных главных плоскостях ДН флюктуации амплитуд поля не коррелированы.

Рассмотрим последовательно случаи малых и больших радиусов корреляции.

Радиусы корреляции малы. ($c \ll 1$). Подставив в (42) выражение (П1.13) для

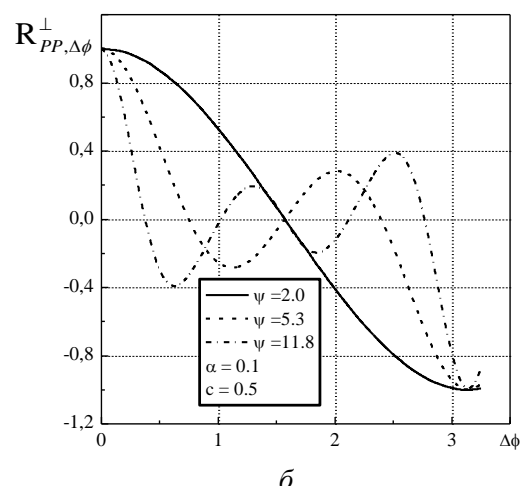
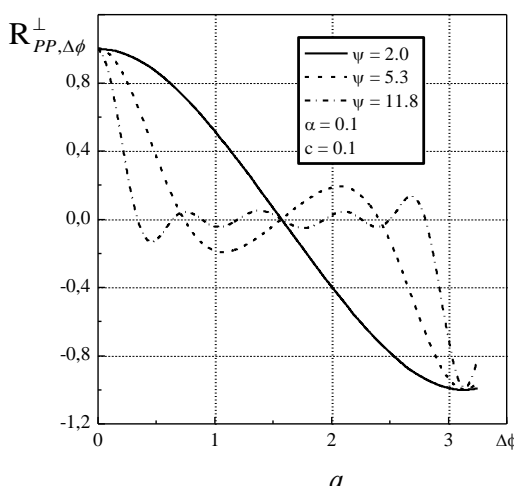
$T_1^{(1),(2)}(c, \psi, \psi, \Delta\phi)$ и учитывая (34), получим

$$R_{PP,\Delta\phi}^\perp(\psi, \psi, \Delta\phi) = \frac{\sum_{m=0}^{\infty} \cos[(2m+1)\Delta\phi] \left[J_{2m+1}^2(\psi) - J_{2m}(\psi)J_{2m+2}(\psi) \right]}{1 + [J_0(2\psi) + J_2(2\psi)]}, \quad (43)$$

$$R_{\Psi\Psi,\Delta\phi}^\perp(\psi, \psi, \Delta\phi) = \frac{\sum_{m=0}^{\infty} (2 - \delta_{0m}) \cos(2m\Delta\phi) \left[J_{2m}^2(\psi) - J_{2m-1}(\psi)J_{2m+1}(\psi) \right]}{1 - [J_0(2\psi) + J_2(2\psi)]}. \quad (44)$$

Радиусы корреляции велики ($c \gg 1$). В этом случае для $T_1^{(1),(2)}(c, \psi, \psi, \Delta\phi)$ воспользуемся выражением (П1.19), тогда

$$R_{PP,\Delta\phi}^\perp(\psi, \psi, \Delta\phi) = \cos \Delta\phi, \quad (45)$$



$$R_{\Psi\Psi,\Delta\phi}^{\perp}(\psi, \psi, \Delta\phi) = 1. \quad (46)$$

На рис. 7 и 8 приведены поперечные ККФА и ККФФ для нескольких значений радиуса корреляции и различных значений угла ψ , построенные по формулам (36).

Из (43), (44) и рис. 7, *a, b*; 8, *a, b* видно, что при малых радиусах корреляции флюктуаций фазы на апертуре с азимутальной зависимостью поперечных ККФА и ККФФ различна для различных ψ . С увеличением ψ при фиксированном $\Delta\phi$ увеличивается расстояние между точками наблюдения, что приводит к появлению

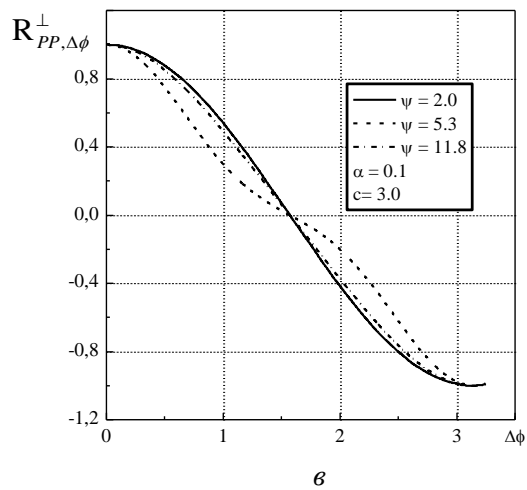
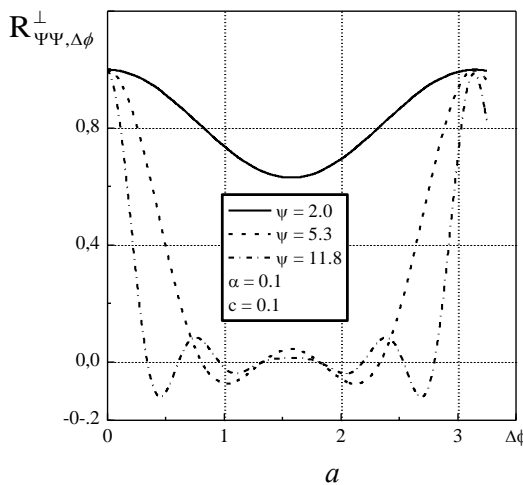
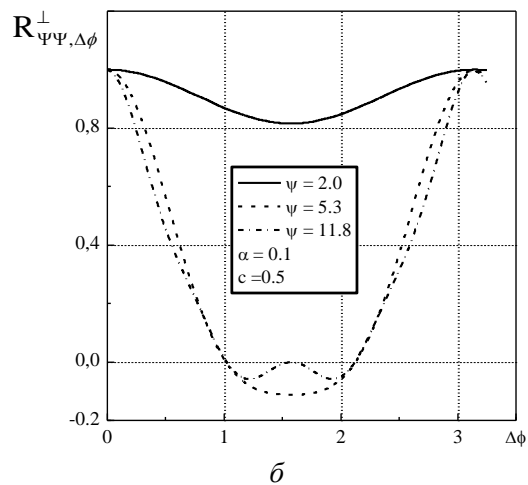


Рис.7



a



b

осцилляций и росту их числа. При этом $R_{PP,\Delta\phi}^{\perp}$ – несимметричная функция относительно точки $\Delta\phi = \pi/2$, в которой она обращается в нуль, а ККФФ – симметричная функция относительно $\Delta\phi = \pi/2$ и имеет в ней локальный минимум или максимум (44). С ростом c осцилляции ККФА и ККФФ сглаживаются (рис. 7, *b, c*; 8, *b, c*).

Заключение

В работе получены выражения для корреляционных и взаимных корреляционных функций вещественной и мнимой компонент поля, а также для амплитуды и фазы этого поля в зоне Френеля. Проанализированы зависимости указанных характеристик от параметров фазовых флюктуаций – их дисперсии и радиуса корреляции. Полученные результаты будут полезны при оценке разброса случайной ДН (амплитудной, фазовой, поляризационной в определенном угловом секторе), необходимого при решении ряда важных прикладных задач. К числу таких можно, в частности, отнести задачу анализа потенциальной точности моноимпульсных РЛС или фазовых пеленгаторов, работающих в неоднородной среде, расчет надежности систем углового разнесенного приема.

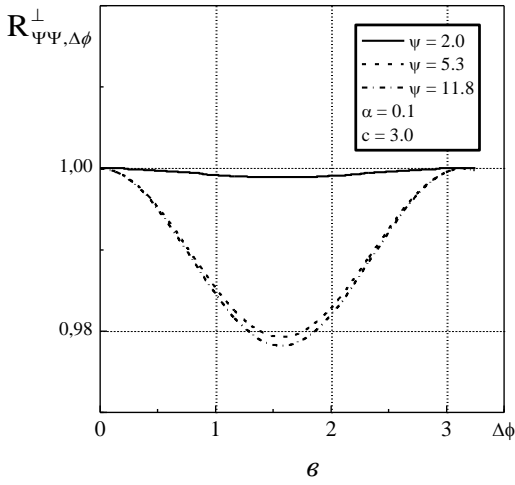


Рис. 8

Вычисление функций $T_n^{(1),(2)}(c, \zeta, \psi, \zeta_1, \psi_1, \Delta\varphi)$.

П1.1. Общие выражения

Исходные выражения для $T_n^{(1),(2)}(c, \zeta, \psi, \zeta_1, \psi_1, \Delta\varphi)$ имеют вид:

$$T_n^{(1),(2)}(c, \zeta, \psi, \varphi, \zeta_1, \psi_1, \varphi_1) = \int \int_{SS'} e^{-\frac{u^2+u_1^2}{c_n^2}} e^{i2(\zeta u^2 + \zeta_1 u_1^2)} F^{(1),(2)}(u, u_1, \psi, \varphi, \psi_1, \varphi_1) uu_1 du du_1, \quad (\text{П1.1})$$

где $c_n = c/\sqrt{n}$ и

$$F^{(1),(2)}(u, u_1, \psi, \varphi, \psi_1, \varphi_1) = \frac{1}{\pi^2} \int_0^{2\pi} \int_0^{2\pi} e^{\frac{2uu_1}{c_n^2} \cos(\varphi' - \varphi'_1)} e^{i[u\psi \cos(\varphi - \varphi') + u_1\psi_1 \cos(\varphi_1 - \varphi'_1)]} d\varphi' d\varphi'_1. \quad (\text{П1.2})$$

Введем ряд переменных: $\eta' = \varphi - \varphi'$, $\eta'_1 = \varphi - \varphi'_1$, $\theta = \varphi'_1 - \varphi'$, $\Delta\varphi = \varphi_1 - \varphi$, и заметим, что $\eta'_1 - \eta' = \theta + \Delta\varphi$.

С учётом новых переменных экспоненциальные множители в (П1.2) запишутся следующим образом:

$$e^{\frac{2uu_1}{c_n^2} \cos(\varphi' - \varphi'_1)} = e^{x \cos \theta}, \quad e^{i\psi u \cos(\varphi - \varphi')} = e^{iy \cos \eta'}, \quad e^{\mp i\psi_1 u_1 \cos(\varphi_1 - \varphi'_1)} = e^{\mp iy_1 \cos \eta'_1},$$

где $x = 2uu_1/c_n^2$. $y = \psi u$, $y_1 = \psi_1 u_1$.

Воспользуемся формулами Якоби-Ангера для производящих функций [5]:

$$e^{\mp iz \cos \varphi} = \sum_{n=-\infty}^{\infty} (\mp i)^n e^{in\varphi} J_n(z), \quad e^{z \cos \varphi} = \sum_{n=-\infty}^{\infty} e^{in\varphi} I_n(z). \quad (\text{П1.3})$$

где $J_n(z)$ и $I_n(z)$ – функции Бесселя первого рода и модифицированные функции Бесселя n -го порядка соответственно.

С учетом (П1.3) и введенных обозначений будем иметь:

$$\begin{aligned} e^{i\psi u \cos \eta'} &= \sum_{n=-\infty}^{\infty} i^n J_n(\psi u), \quad e^{\mp i\psi_1 u_1 \cos \eta'_1} = \sum_{n=-\infty}^{\infty} (\mp 1)^n i^n e^{in\eta'_1} J_n(\psi_1 u_1), \\ e^{i[\psi u \cos(\varphi - \varphi') + \psi_1 u_1 \cos(\varphi_1 - \varphi'_1)]} &= \sum_{n,m=-\infty}^{\infty} (\mp 1)^n i^{n+m} e^{i(n\eta' + m\eta'_1)} J_n(\psi u) J_m(\psi_1 u_1), \\ e^{\frac{2uu_1}{c_n^2} \cos(\varphi' - \varphi'_1)} &= \sum_{k=-\infty}^{\infty} e^{ik\theta} I_k\left(\frac{2uu_1}{c_n^2}\right). \end{aligned}$$

Тогда (П1.2) принимает вид

$$F^{(1),(2)}(u, u_1, \psi, \varphi, \psi_1, \varphi_1) = \sum_{n,m,k=-\infty}^{\infty} (\mp 1)^m i^{n+m} I_k\left(\frac{2uu_1}{c_n^2}\right) J_n(\psi u) J_m(\psi_1 u_1) \int_0^{2\pi} \int_0^{2\pi} e^{ik\theta} e^{i(n\eta' + m\eta'_1)} d\eta' d\eta'_1. \quad (\text{П1.4})$$

Интегрирование по η' и η'_1 дает следующий результат:

$$\int_0^{2\pi} \int_0^{2\pi} e^{ik\theta} e^{i(n\eta' + m\eta'_1)} d\eta' d\eta'_1 = 4\pi^2 \delta_{n,k} \delta_{n,(-m)}, \quad (\text{П1.5})$$

где $\delta_{n,k}$ – символ Кронекера.

Подставив (П1.5) в (П1.4), после ряда преобразований получим:

$$F^{(1),(2)}(u, u_1, \psi, \psi_1, \Delta\varphi) = 4 \sum_{m=-\infty}^{\infty} (2 - \delta_{0m})(\pm 1)^m \cos(m\Delta\varphi) I_m\left(\frac{2uu_1}{c_n^2}\right) J_m(\psi u) J_m(\psi_1 u_1), \quad (\text{П1.6})$$

и для $T_n^{(1),(2)}(c, u, u_1, \psi, \psi_1, \Delta\varphi)$ соответственно имеем

$$\begin{aligned} T_n^{(1),(2)}(c, \zeta, \psi, \zeta_1, \psi_1, \Delta\varphi) &= 4 \sum_{m=-\infty}^{\infty} (2 - \delta_{0m})(\pm 1)^m \cos(m\Delta\varphi) \times \\ &\times \int_0^1 \int_0^1 e^{-\frac{u^2+u_1^2}{c_n^2}} e^{i2(\zeta u^2 \mp \zeta_1 u_1^2)} I_m\left(\frac{2uu_1}{c_n^2}\right) J_m(\psi u) J_m(\psi_1 u_1) uu_1 du du_1 \end{aligned} \quad (\text{П1.7})$$

П1.2. Асимптотические выражения для $T_n^{(1),(2)}(c, \psi, \psi_1, \Delta\varphi)$ при $c \ll 1$ и $c \gg 1$.

При произвольных c из (П1.7), полагая $\zeta = \zeta_1 = 0$ и опуская эти нулевые значения из перечня аргументов, имеем:

$$T_n^{(1),(2)}(c, \psi, \psi_1, \Delta\varphi) = 4 \sum_{m=0}^{\infty} (2 - \delta_{0m})(\pm 1)^m \cos(m\Delta\varphi) S_m(c_n, \psi, \psi_1), \quad (\text{П1.8})$$

где

$$S_m(c_n, \psi, \psi_1) = \int_0^1 \int_0^1 e^{-\frac{u^2+u_1^2}{c_n^2}} I_m\left(\frac{2uu_1}{c_n^2}\right) J_m(\psi u) J_m(\psi_1 u_1) uu_1 du du_1.$$

Заметим, что при $\Delta\varphi = \pi/2$ в (П1.8) будут отличны от нуля слагаемые только с четным значением m . Тогда, полагая $m = 2k$, получим

$$T_n^{(1),(2)}(c, \psi, \psi_1, \pi/2) = 4 \sum_{k=0}^{\infty} (2 - \delta_{0,2k})(-1)^k S_{2k}(c_n, \psi, \psi_1), \quad (\text{П1.9})$$

то есть $T_n^{(1)}(c, \psi, \psi_1, \pi/2) = T_n^{(2)}(c, \psi, \psi_1, \pi/2)$.

Рассмотрим случай $c \ll 1$. Введем следующие обозначения:

$$f_m(u, u_1) = e^{-\frac{2uu_1}{c_n^2}} I_m\left(\frac{2uu_1}{c_n^2}\right) J_m(\psi u) J_m(\psi_1 u_1) uu_1, \quad s(u_1) = -(u - u_1)^2$$

Тогда $S_m(c_n, \psi, \psi_1)$ в (П1.8) примет вид:

$$S_m(c_n, \psi, \psi_1) = \int_0^1 \int_0^1 e^{-\frac{s(u_1)}{c_n^2}} f_m(u, u_1) du_1 du \quad (\text{П1.10})$$

Внутренний интеграл по u_1 в (П1.10) является интегралом Лапласа и для вычисления его асимптотического (при $c \rightarrow 0$) значения воспользуемся следующим разложением [7]:

$$\int_0^1 e^{-\frac{s(u_1)}{c_n^2}} f_m(u, u_1) du_1 \approx e^{-\frac{s(u=u_1)}{c_n^2}} \sum_{k=0}^{\infty} b_k c^{2(k+\frac{1}{2})},$$

где

$$b_k = \frac{\Gamma(k + \frac{1}{2})}{(2k)!} \left(\frac{d}{du_1} \right)^k \left\{ f_m(u_1, u) \left[\frac{2(s(u_1 - u) - S(u_1, u))}{(u_1 - u)^2} \right]^{-k - \frac{1}{2}} \right\}_{u_1=u}$$

и ограничимся в нем главным членом. Тогда для $S_m(c_n, \psi, \psi_1)$ имеем:

$$S_m(c_n, \psi, \psi_1) = c_n \sqrt{\pi} \int_0^1 e^{-\frac{2u^2}{c_n^2}} I_m\left(\frac{2u^2}{c_n^2}\right) J_m(\psi u) J_m(\psi_1 u) u^2 du.$$

При вычислении интеграла при $c \rightarrow 0$, используем асимптотическое разложение $\exp(-2u^2/c_n^2) I_m(-2u^2/c_n^2)$ при больших значениях аргумента [7] и, ограничившись в нем членами второго порядка малости по c_n , для $S_m(c_n, \psi, \psi_1)$ имеем:

$$S_m(c_n, \psi, \psi_1) = \frac{c_n^2}{2} \frac{\psi J_{m+1}(\psi) J_m(\psi_1) - \psi_1 J_m(\psi) J_{m+1}(\psi_1)}{\psi^2 - \psi_1^2}. \quad (\text{П1.11})$$

Подставив (П1.11) в (П1.8), получим окончательное выражение при $c \ll 1$

$$T_n^{(1),(2)}(c_n, \psi, \psi_1, \Delta\varphi) = 2c_n^2 \sum_{m=0}^{\infty} (2 - \delta_{0m})(\pm 1)^m \cos(m\Delta\varphi) \frac{\psi J_{m+1}(\psi u) J_m(\psi_1) - \psi_1 J_m(\psi) J_{m+1}(\psi_1)}{\psi^2 - \psi_1^2}. \quad (\text{П1.12})$$

Для $\psi_1 = \psi$ с учетом того, что

$$\lim_{\psi_1 \rightarrow \psi} \frac{\psi J_{m+1}(\psi) J_m(\psi_1) - \psi_1 J_m(\psi) J_{m+1}(\psi_1)}{\psi^2 - \psi_1^2} = \frac{1}{2} [J_m^2(\psi) - J_{m-1}(\psi) J_{m+1}(\psi)],$$

получим

$$T_n^{(1),(2)}(c, \psi, \psi, \Delta\varphi) = c_n^2 \sum_{m=0}^{\infty} (2 - \delta_{0m})(\pm 1)^m \cos(m\Delta\varphi) [J_m^2(\psi) - J_{m-1}(\psi) J_{m+1}(\psi)]. \quad (\text{П1.13})$$

В частных случаях, когда $\Delta\varphi = 0$ или $\Delta\varphi = \pi$, учитывая, что [6]

$$\sum_{m=0}^{\infty} (2 - \delta_{0m})(\pm 1)^m \frac{\psi J_{m+1}(\psi u) J_m(\psi_1) - \psi_1 J_m(\psi) J_{m+1}(\psi_1)}{\psi^2 - \psi_1^2} = \frac{J_1(\psi \mp \psi_1)}{\psi \mp \psi_1}$$

для $T_n^{(1),(2)}(c, \psi, \psi_1, 0)$ и $T_n^{(1),(2)}(c, \psi, \psi_1, \pi)$ имеем

$$T_n^{(1),(2)}(c_n, \psi, \psi_1, 0) = T_n^{(2),(1)}(c_n, \psi, \psi_1, \pi) = 2c_n^2 \frac{J_1(\psi \mp \psi_1)}{\psi \mp \psi_1}. \quad (\text{П1.14})$$

Рассмотрим теперь случай $c \gg 1$. Для получения асимптотического выражения для $T_n^{(1),(2)}(c, \psi, \psi_1, \Delta\varphi)$ воспользуемся разложением $I_m(2uu_1/c_n^2)$ [6]:

$$I_m\left(\frac{2uu_1}{c_n^2}\right) = \sum_{k=0}^{\infty} \frac{1}{k!(m+k)!} \frac{u^{2k+m} u_1^{m+2k}}{c_n^{2(m+2k)}}.$$

Тогда $S_m(c_n, \psi, \psi_1)$ в (П1.8) запишется в виде

$$S_m(c_n, \psi, \psi_1) = \sum_{k=0}^{\infty} \frac{1}{k!(m+k)!} \frac{1}{c_n^{2(m+2k)}} \left\{ \int_0^1 e^{-\frac{u^2}{c_n^2}} u^{m+2k} J_m(\psi u) u du \int_0^1 e^{-\frac{u_1^2}{c_n^2}} u_1^{m+2k} J_m(\psi_1 u_1) u_1 du_1 \right\}.$$

Интегралы в фигурных скобках после разложения $\exp(-u^2/c_n^2)$ в степенной ряд сводятся к сумме стандартных интегралов от произведения степенной и бесселевой функций [6]. Опуская простые, но громоздкие преобразования, получим:

$$S_m(c_n, \psi, \psi_1) = \sum_{k=0}^{\infty} \frac{1}{k!(m+k)!} \frac{1}{c_n^{2(m+2k)}} F_{m,k}(\psi) F_{m,k}(\psi_1), \quad (\text{П1.15})$$

где

$$F_{m,k}(\psi) = \sum_{p=0}^{\infty} (-1)^p \frac{(m+p+k)!(p+k)!}{p!c_n^{2p}} \sum_{t=0}^{p+k} (-1)^t \frac{(m+2t+1)}{(m+p+k+t)!(p+k-t)!} \frac{J_{m+2t+1}(\psi)}{\psi}. \quad (\text{П1.16})$$

Из выражений (П1.15) и (П1.16) видно, что если ограничиваться членами второго порядка малости по $(1/c_n)$, то необходимо найти только $S_0(c_n, \psi, \psi_1)$ и $S_1(c_n, \psi, \psi_1)$. Соответствующие выражения имеют вид:

$$S_0(c_n, \psi, \psi_1) = \frac{J_1(\psi)J_1(\psi_1)}{\psi\psi_1} \left\{ 1 - \frac{1}{c_n^2} \left[1 - \frac{1}{2} \frac{J_3(\psi)}{J_1(\psi)} - \frac{1}{2} \frac{J_3(\psi_1)}{J_1(\psi_1)} \right] \right\}, \quad (\text{П1.17})$$

$$S_1(c_n, \psi, \psi_1) = \frac{1}{c_n^2} \frac{J_2(\psi)J_2(\psi_1)}{\psi\psi_1}. \quad (\text{П1.18})$$

Выражения (П1.8), (П1.17) и (П1.18) позволяют получить в явном виде $T_n^{(1),(2)}$ при $c \gg 1$:

$$T_n^{(1),(2)}(c, \psi, \psi_1, \Delta\phi) = 4 \left\{ \frac{J_1(\psi)J_1(\psi_1)}{\psi\psi_1} \left[1 - \frac{1}{c_n^2} \left(1 - \frac{1}{2} \frac{J_3(\psi)}{J_1(\psi)} - \frac{1}{2} \frac{J_3(\psi_1)}{J_1(\psi_1)} \right) \right] \pm \right. \\ \left. \pm \frac{2}{c_n^2} \cos(\Delta\phi) \frac{J_2(\psi)J_2(\psi_1)}{\psi\psi_1} \right\}. \quad (\text{П1.19})$$

ПРИЛОЖЕНИЕ 2

Вычисление функций $K_1(\zeta, \psi, \varphi, \zeta_1, \psi_1, \varphi_1)$ и $K_2(\zeta, \psi, \varphi, \zeta_1, \psi_1, \varphi_1)$ при $\alpha \gg 1$

Согласно (6), (7) и (5) выражения для $K_1(\zeta, \psi, \varphi, \zeta_1, \psi_1, \varphi_1) = \overline{\delta E(\zeta, \psi, \varphi) \delta E^*(\zeta_1, \psi_1, \varphi_1)}$ и $K_2(\zeta, \psi, \varphi, \zeta_1, \psi_1, \varphi_1) = \overline{\delta E(\zeta, \psi, \varphi) \delta E(\zeta_1, \psi_1, \varphi_1)}$ с учетом того, что

$$\overline{e^{i\Phi(u, \phi)}} = e^{-\frac{\alpha}{2}}, \quad \overline{e^{i[\Phi(u, \phi) - \Phi(u_1, \phi_1)]}} = e^{-\alpha(1-r)}, \quad \overline{e^{i[\Phi(u, \phi) + \Phi(u_1, \phi_1)]}} = e^{-\alpha(1+r)}$$

имеют вид

$$K_1(\zeta, \psi, \varphi, \zeta_1, \psi_1, \varphi_1) = \frac{1}{\pi^2} \int_0^1 \int_0^1 \int_0^{2\pi} \int_0^{2\pi} e^{i2(\zeta u^2 - \zeta_1 u_1^2)} e^{i[\psi u \cos(\varphi - \phi) - \psi_1 u_1 \cos(\varphi_1 - \phi_1)]} \times \\ \times \left[e^{\alpha(r-1)} - e^{-\alpha} \right] u u_1 dudu_1 d\phi d\phi_1, \quad (\text{П2.1})$$

$$K_2(\zeta, \psi, \varphi, \zeta_1, \psi_1, \varphi_1) = \frac{1}{\pi^2} \int_0^1 \int_0^1 \int_0^{2\pi} \int_0^{2\pi} e^{i2(\zeta u^2 + \zeta_1 u_1^2)} e^{i[\psi u \cos(\varphi - \phi) + \psi_1 u_1 \cos(\varphi_1 - \phi_1)]} \times \\ \times \left[e^{-\alpha(1+r)} - e^{-\alpha} \right] u u_1 dudu_1 d\phi d\phi_1, \quad (\text{П2.2})$$

где

$$r = \exp \left[- \left(u^2 + u_1^2 \right) - 2u u_1 \cos(\phi - \phi_1) / c^2 \right] \quad (\text{П2.3})$$

коэффициент корреляции фазовых флуктуаций на апертуре.

Функция, стоящая в квадратной скобке подынтегрального выражения в (П2.1) принимает максимальное значение при $r = 1$. Следовательно, основной вклад при интегрировании в (П2.1) даст область значений переменных, для которой $r \approx 1$. Тогда, учитывая, что $\ln r = (r-1) + \frac{(r-1)^2}{2} + \dots$ для $(r-1) < 1$ и ограничиваясь в этом разложении первым членом, имеем

$$\left[e^{\alpha(r-1)} - e^{-\alpha} \right] \approx e^{\alpha \ln r} \left(1 - e^{-\alpha r} \right) \approx e^{\alpha \ln r} = - \frac{u^2 + u_1^2 - 2uu_1 \cos(\phi - \phi_1)}{c_\alpha^2}, \quad (\text{П2.4})$$

где $c_\alpha = c/\sqrt{\alpha}$.

Подставляя (П2.4) в (П2.1) и сравнивая с (П1.1) получаем, что

$$K_1(\zeta, \psi, \varphi, \zeta_1, \psi_1, \varphi_1) = T_1^{(1)}(c_\alpha, \zeta, \psi, \zeta_1, \psi_1, \Delta\varphi). \quad (\text{П2.5})$$

где $\Delta\varphi = \varphi_1 - \varphi$.

Функция, стоящая в квадратной скобке подынтегрального выражения для $K_2(\zeta, \psi, \varphi, \zeta_1, \psi_1, \varphi_1)$, также достигает максимального значения при $r=1$ и для $\alpha \gg 1$ может быть преобразована следующим образом:

$$\left[e^{-\alpha(1+r)} - e^{-\alpha} \right] = e^{-\alpha} \left(e^{-\alpha r} - 1 \right) \approx -e^{-\alpha}. \quad (\text{П2.6})$$

Тогда

$$K_2(\zeta, \psi, \varphi, \zeta_1, \psi_1, \varphi_1) \approx e^{-\alpha} \frac{1}{\pi} \left[\int_0^{1/2\pi} \int_0^r e^{i[2\zeta u^2 \cos(\varphi - \phi)]} u du d\phi \right]^2.$$

Так как интеграл, стоящий в квадратной скобке, есть ограниченная величина, то при $\alpha \gg 1$ модуль $K_2(\zeta, \psi, \varphi, \zeta_1, \psi_1, \varphi_1) \ll 1$ и можно считать, что

$$K_2(\zeta, \psi, \varphi, \zeta_1, \psi_1, \varphi_1) \approx 0. \quad (\text{П2.7})$$

Список литературы: 1. Шифрин Я.С., Должиков В.В. Статистика поля антенны с круглой апертурой сфокусированной в зону Френеля, часть 1. Средние характеристики поля // Электромагнитные волны и электронные системы. – Т.15. № 9. – 2010. – С. 15-31. 2. Шифрин Я.С., Должиков В.В. Статистика поля антенны с круглой апертурой сфокусированной в зону Френеля. Ч. 2. Флуктуационные характеристики поля // Электромагнитные волны и электронные системы: – Т.15. № 10. – 2010. – С. 6-23. 3. Шифрин Я.С. Вопросы статистической теории антенн. – М. : Сов. радио, 1970. Англ. пер. Y.S. Shifrin. Statistical Antenna Theory. Golem Press, 1971. – 370 p. 4. Шифрин Я.С. Статистическая теория антенн // Справочник по антенной технике. В 5 т. ; под ред. Л.Д. Бахраха и Е.Г. Зелкина. – М. : ИПРЖР, 1997. – Т. 1. – С. 148 – 206. Англ. пер. Y.S. Shifrin. Statistical Antenna Theory (Theory Foundation, State-of-the-Art, Basic Applications) // Telecommunications and Radio Engineering. – 2001. – vol. 55, N 6–7. – P 1– 68. 5. Абрамович А., Стиган И. Справочник по специальным функциям. – М. : Наука, 1979. 6. Ватсон Г.Н. Теория бесселевых функций. – М. : ИЛ, 1949. 7. Федорюк М.В. Метод перевала. – М. : Наука, 1977.